

# Využití UAV v geomorfologii

# UAV

- UAV = unmanned aerial vehicle / neopilotované letadlo
- Kvadrokoptéry
- Multikoptéry
- Křídla



EXAMPLE OF A QUADROTOR – DJI MAVIC PRO

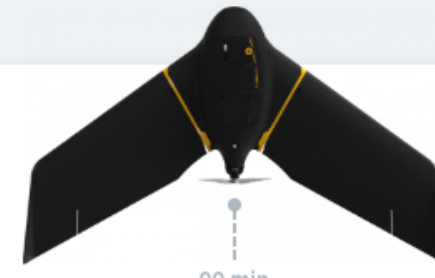


EXAMPLE OF A HEXACOPTER – CUSTOM BUILT MODEL



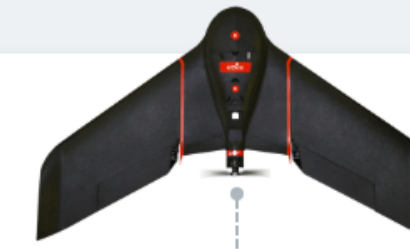
## Parametry:

- Výdrž baterie
- Rychlosť a déľka
- Nosnosť



eBee X

Map without limits



eBee SQ

The advanced agricultural drone

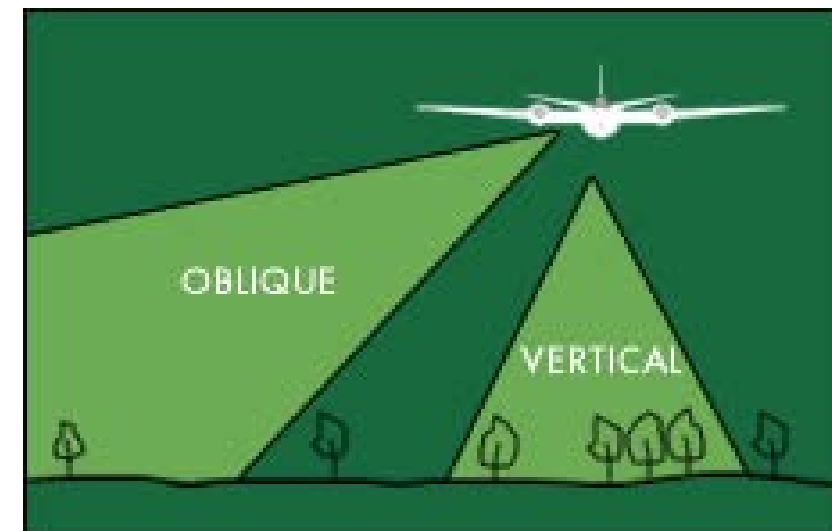
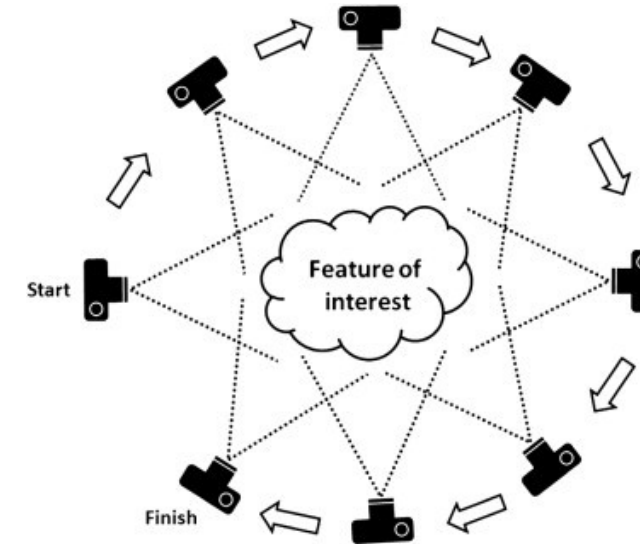


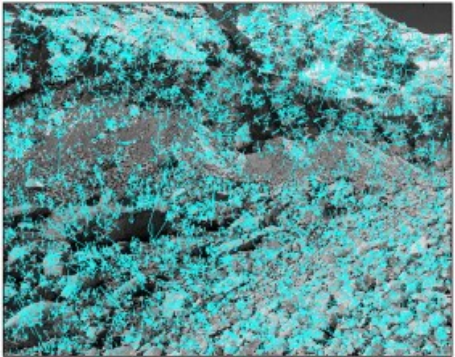
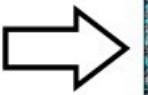
eBee Classic

The professional mapping drone

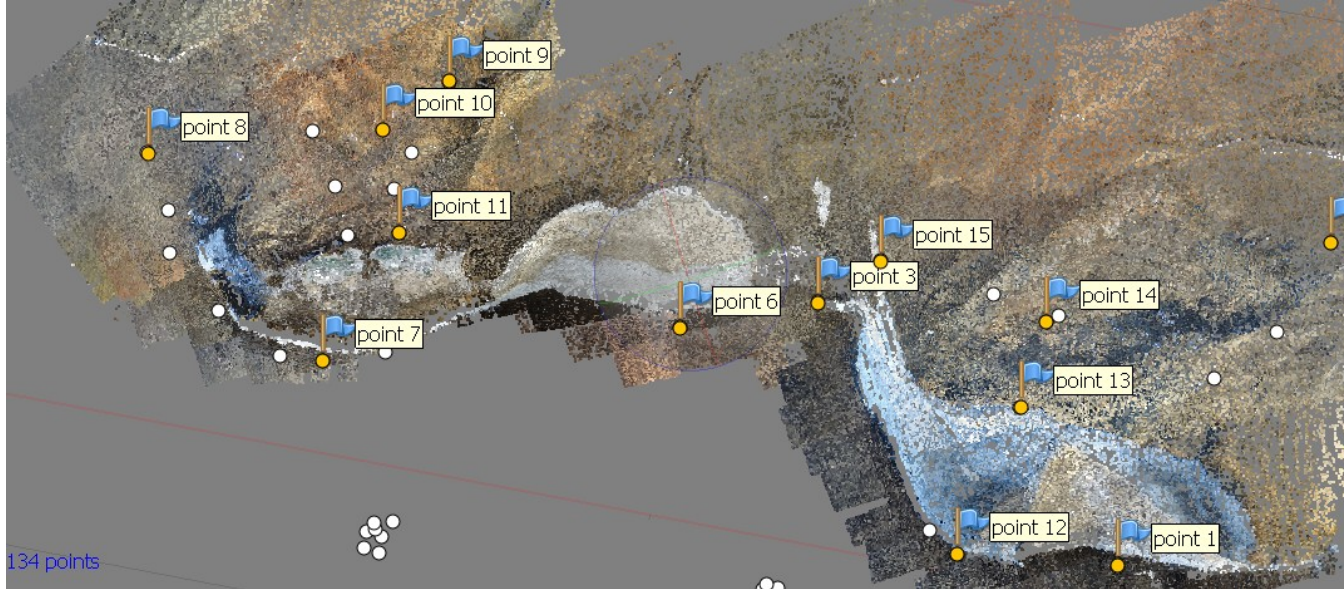
# Structure-from-motion

- Metoda vycházející z principů stereoskopické fotogrammetrie
- Vytvoření detailního 3D obrazu z 2D snímků
  - > vytvoření DEM
  - > ortofoto
- Kolmé (vertical) i šikmé (oblique) snímkování
- Software
  - Metashape (dříve Photoscan)
  - Pix4D





Dekompozice obrazu na mrak bodů (Westoby et al., 2012)



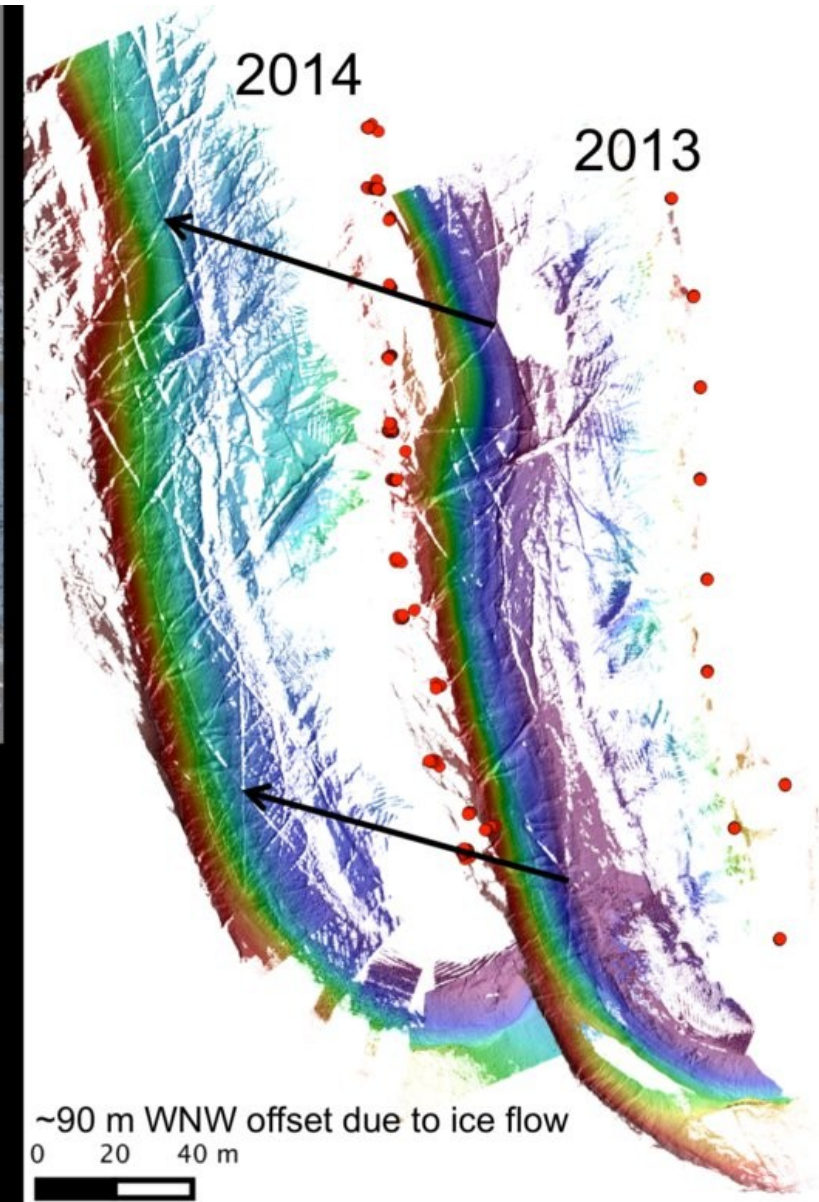
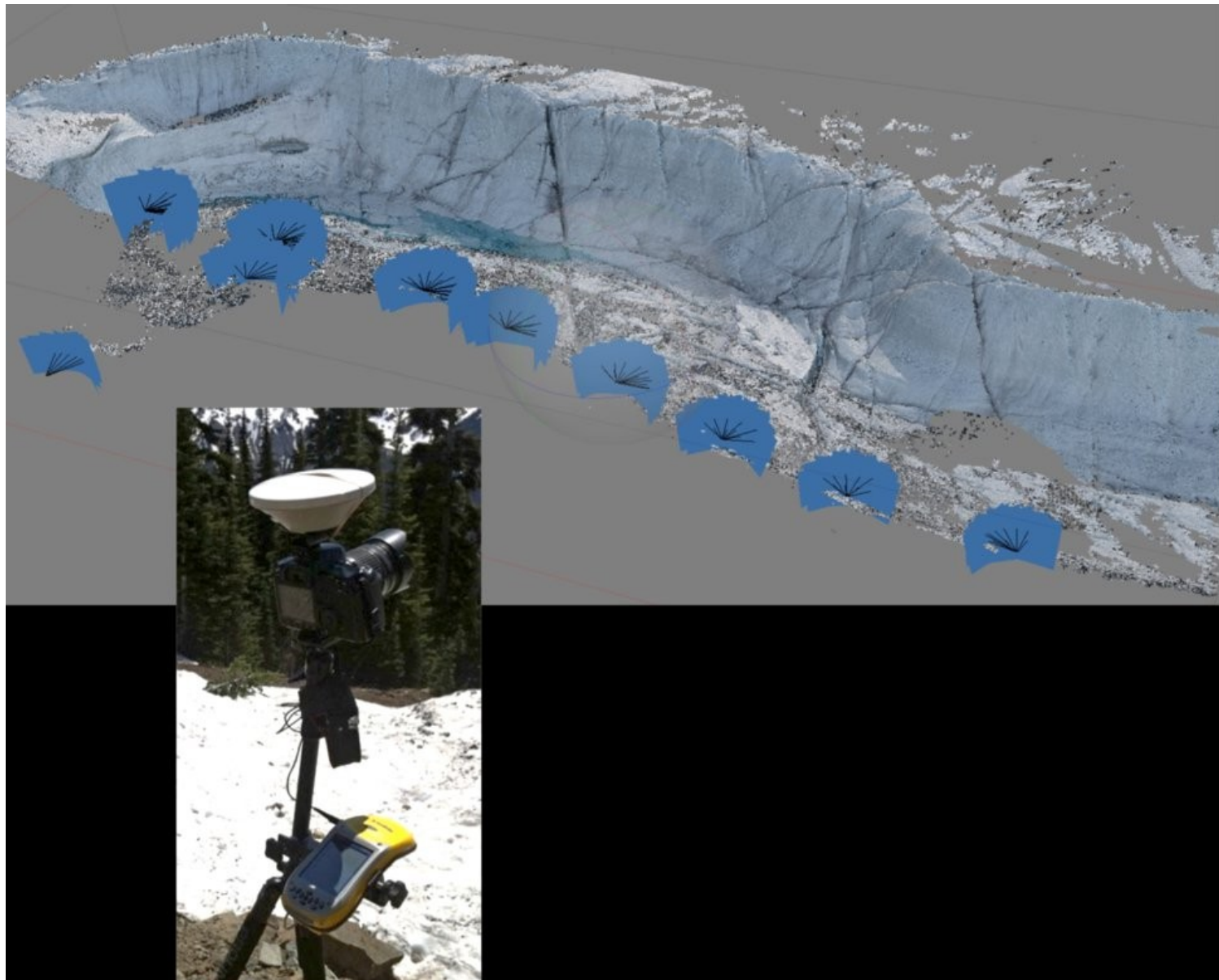
## Šikmé snímkování



Kolmé snímkování

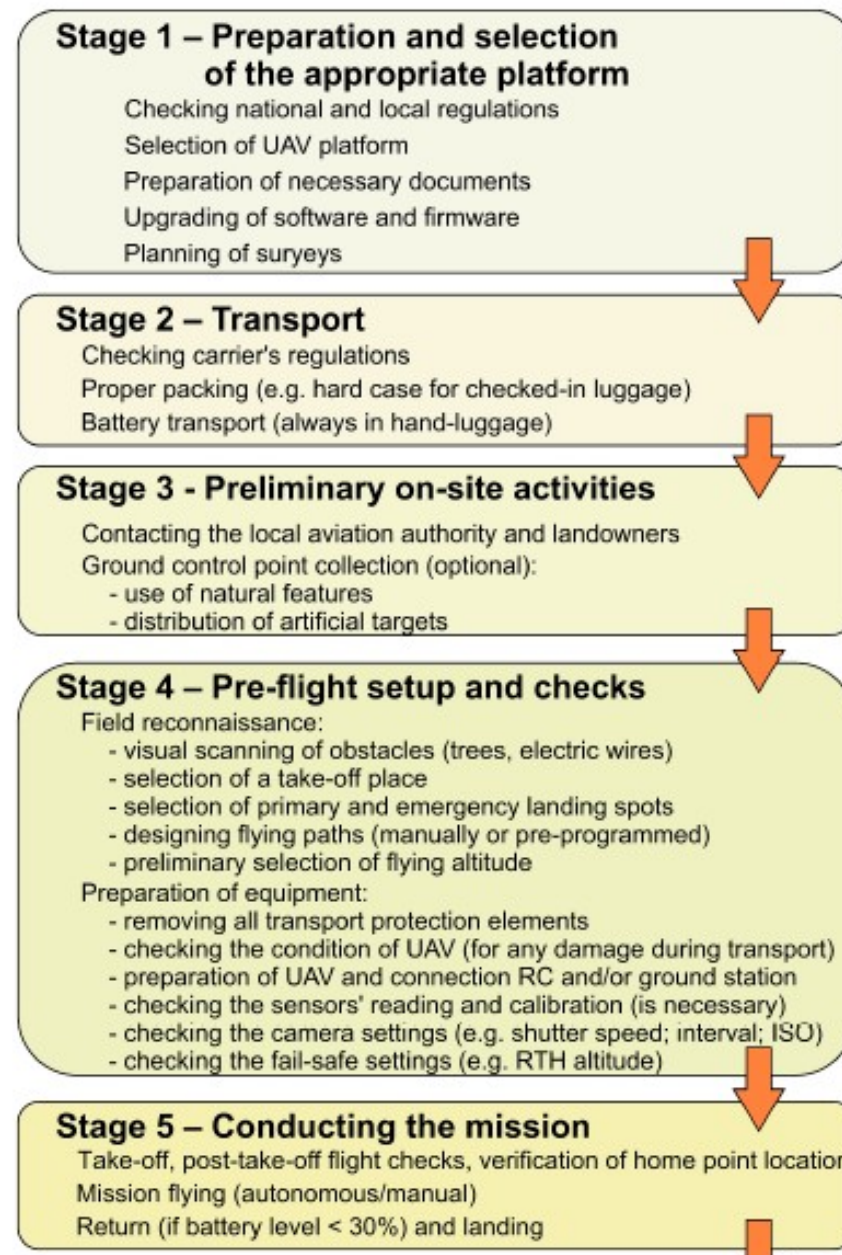


## Příklad snímkování ze země (<https://dshean.github.io/technology/sfm/>)



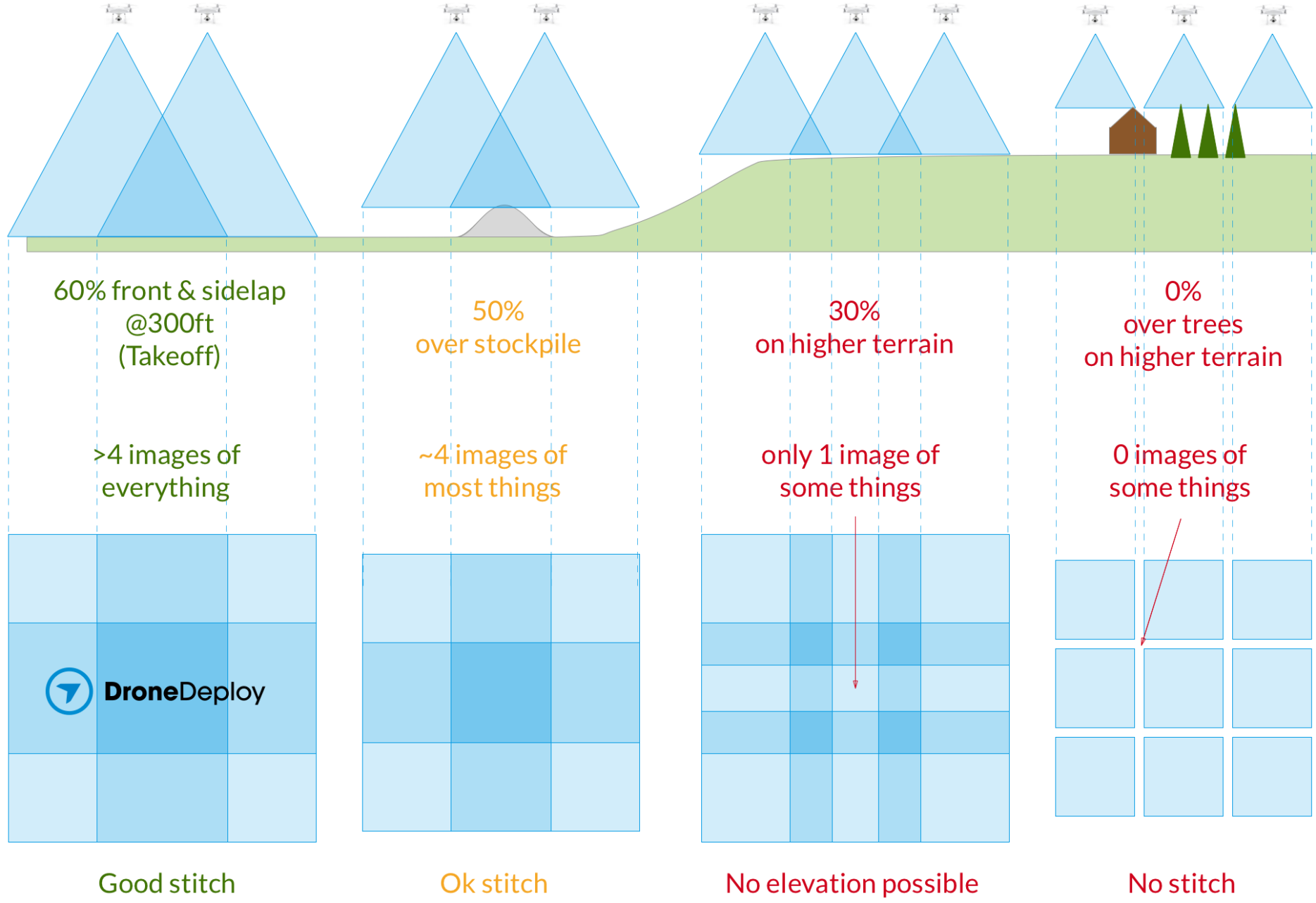
## Operational framework for rapid mapping and monitoring of proglacial areas

- Příprava letové mise krok po kroku



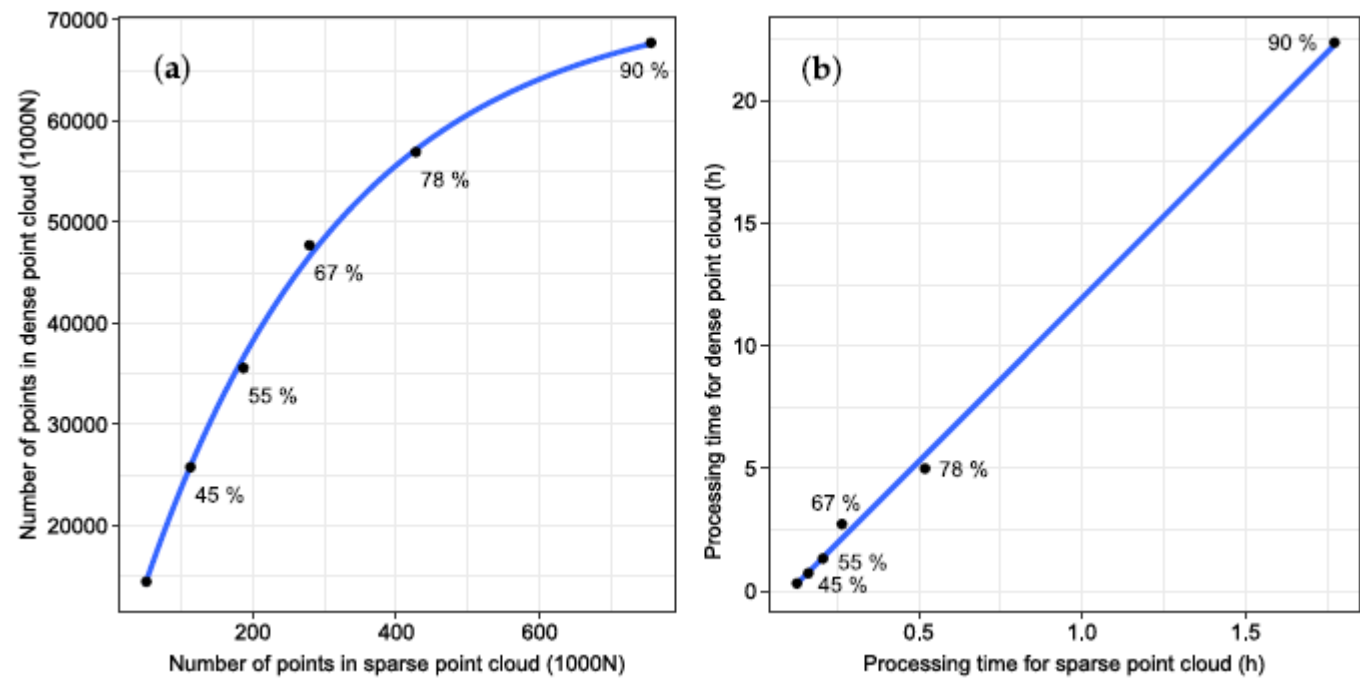
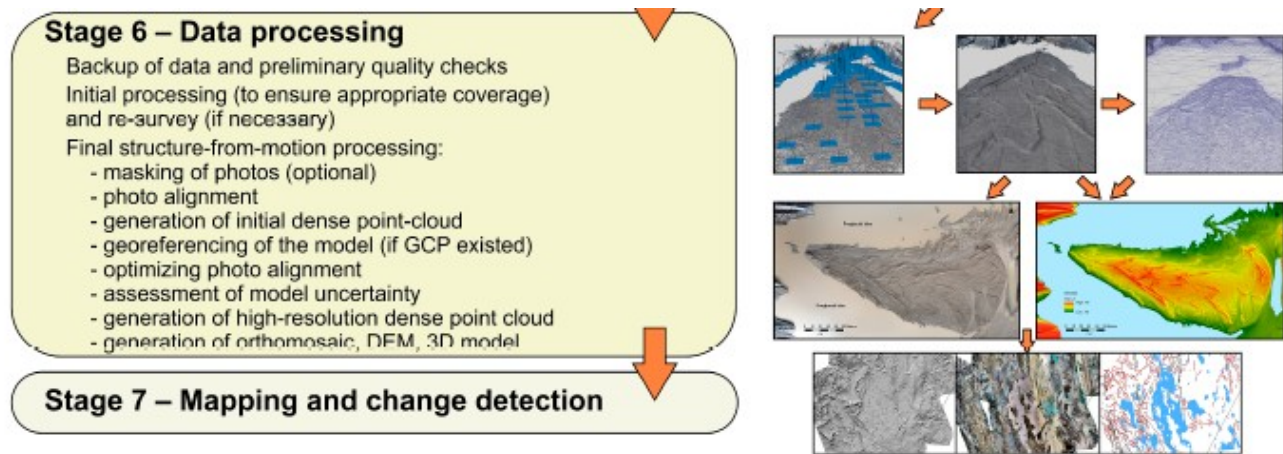
P

- V
- R
- P
- N



# Zpracování dat

- Časově a výpočetně velmi náročné
- Závisí na kvalitě snímků
  - Letových parametrech



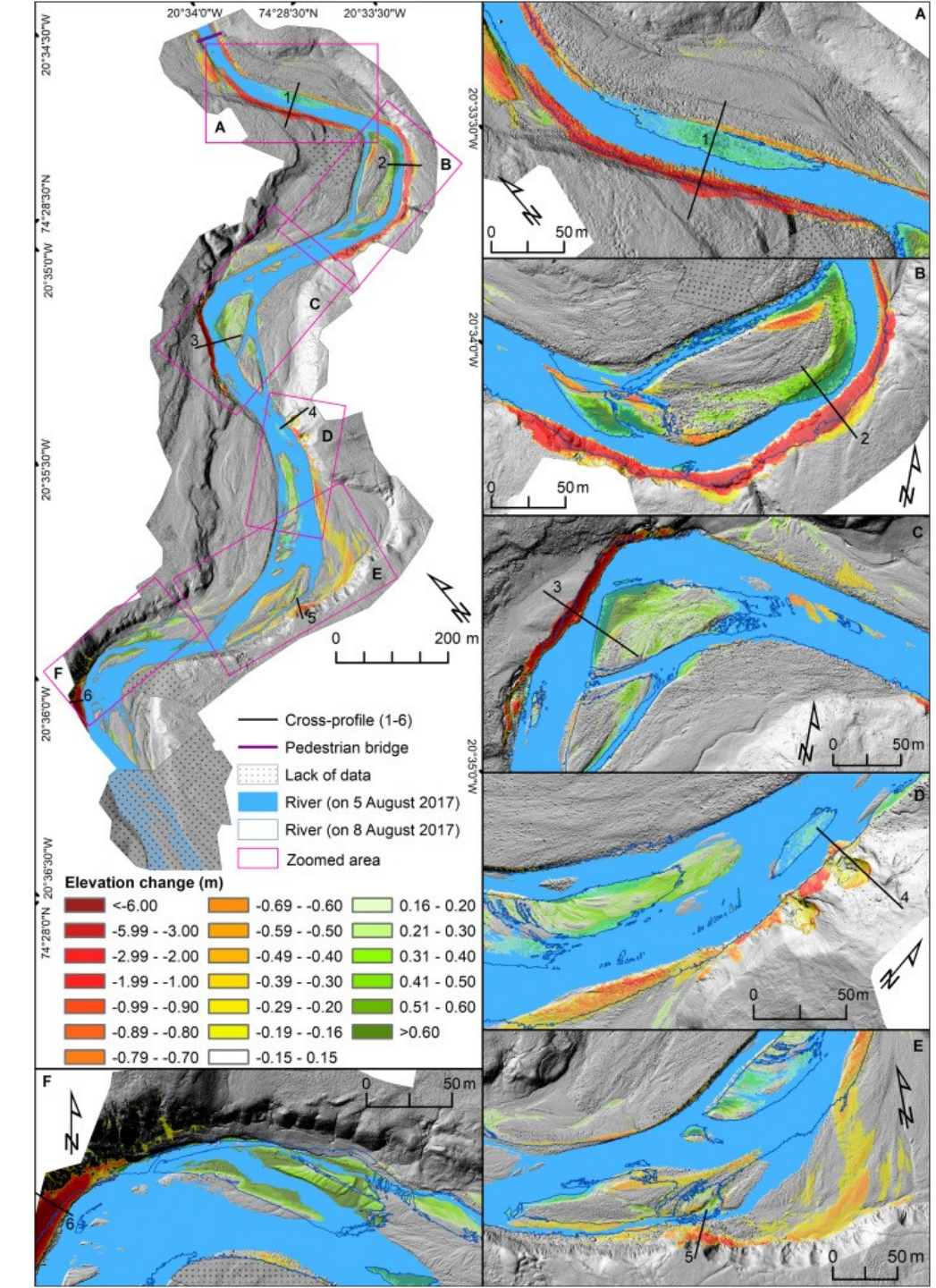
# Srovnání SfM s dalšími technikami (Voumard et al., 2018)

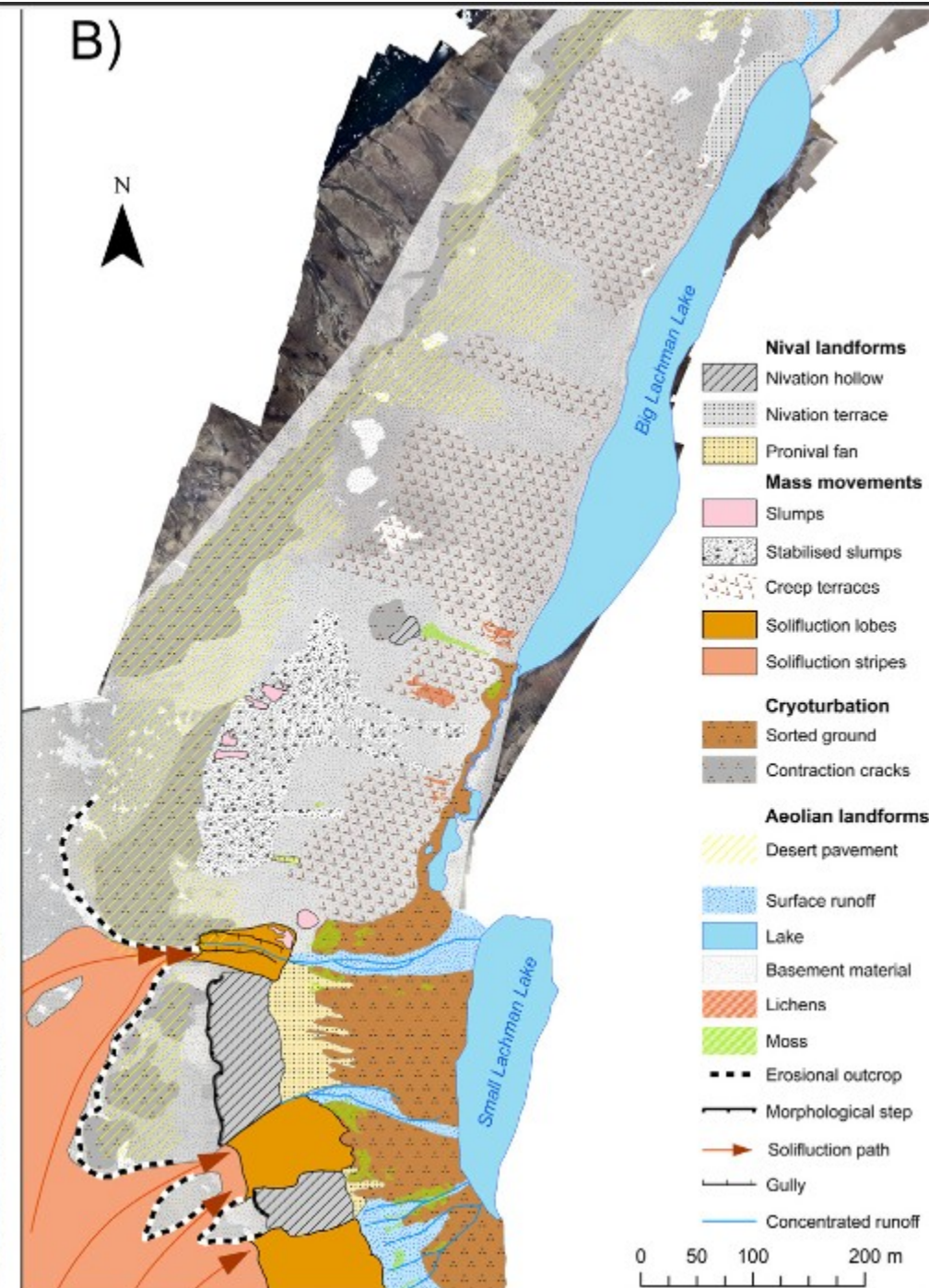
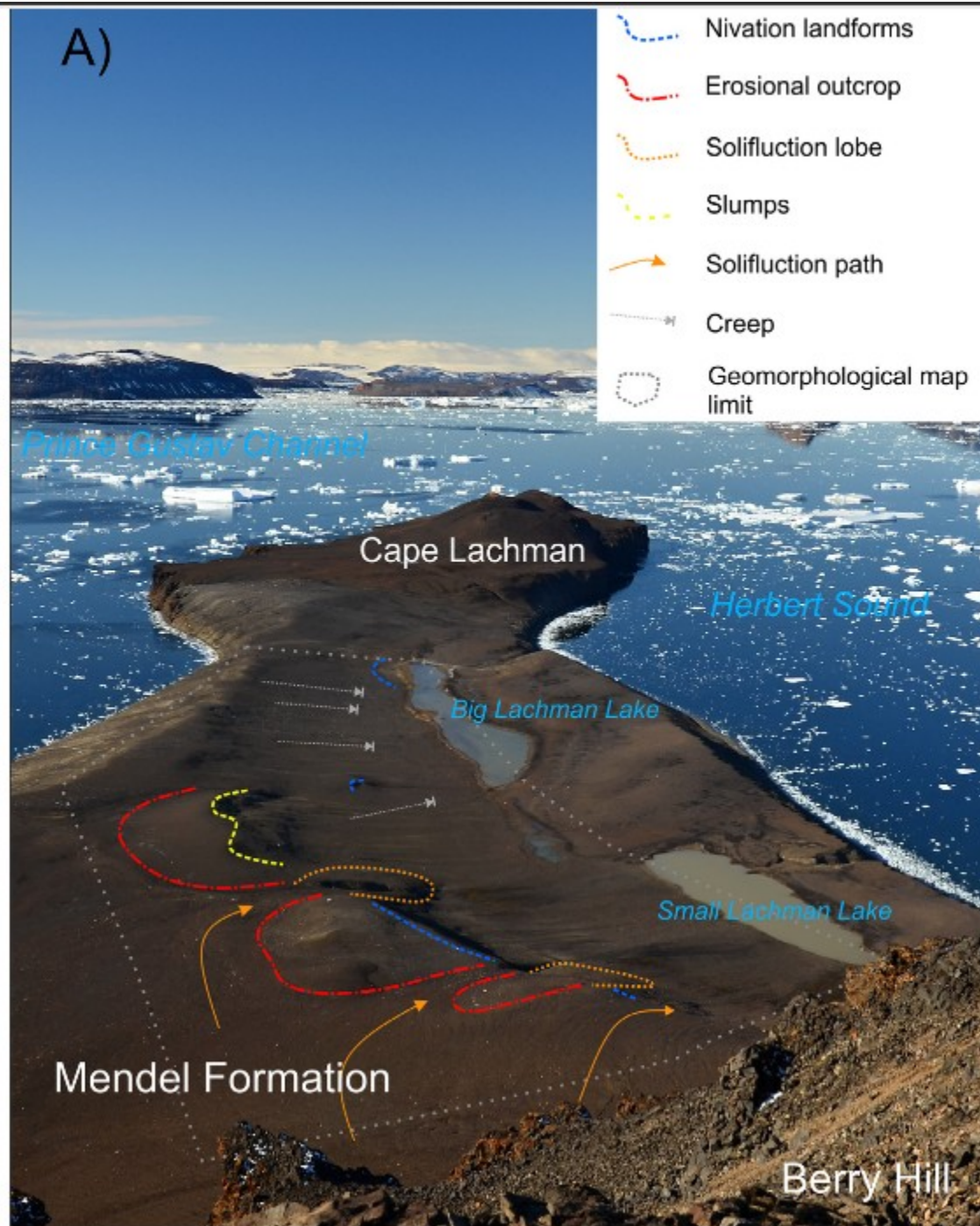
**Table 7.** Summary of the features of the different tested techniques. Point density, average acquisition velocity, precision and accuracy data originate from the test on the Agites cliff beside a small and winding Alpine road.

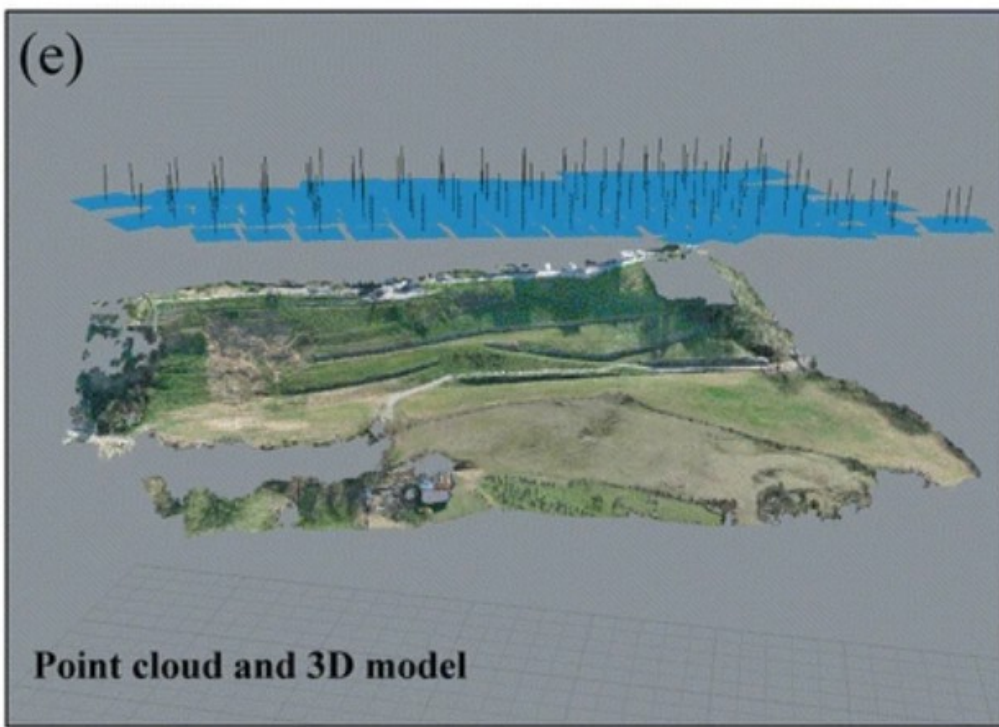
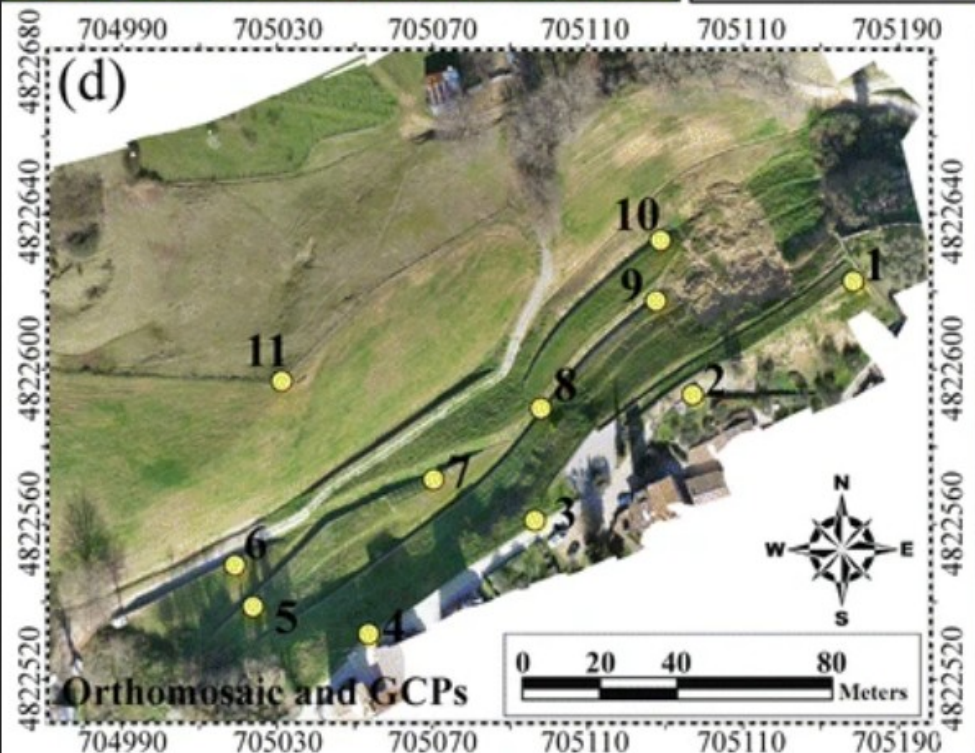
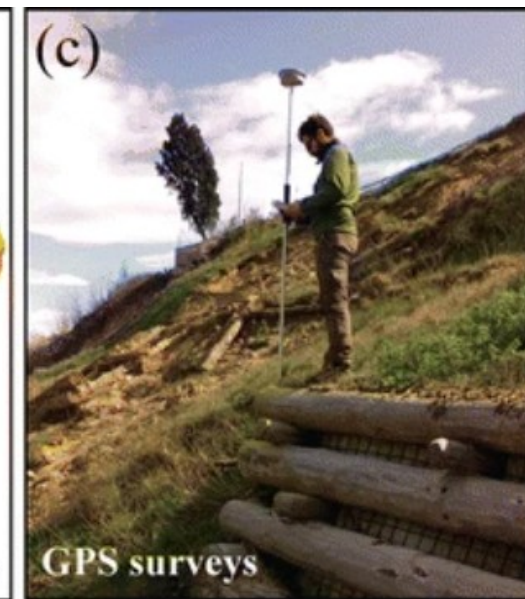
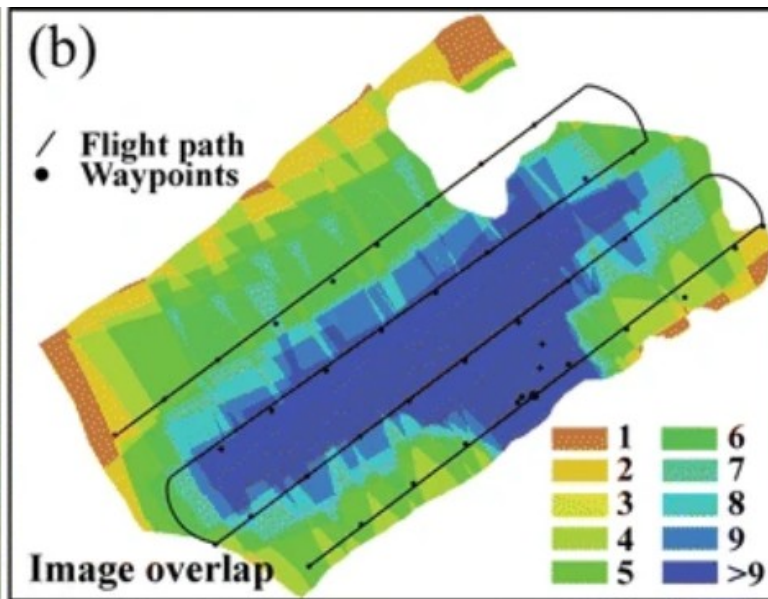
Technique	Point Density [pts/m <sup>2</sup> ]	Range [m]	Average Acquisition Velocity [m/h]	Precision [cm]	Georeferencing [m]	Topographic Influence (Steep Slope, Gorges)	Setup Time [min]	Processing Time [h]	Price EUR (Hard and Software)	Advantages	Disadvantages
SfM-EV	20,000	25	15,000	3	3	Loss of georeferencing	15	24	2000	Low-cost, acquisition speed, colourized point cloud, georeferencing, many support	Accuracy, processing time
UAV SfM	1500	50	10,000	5	5	Loss of georeferencing	5	18	2500	Low-cost, acquisition speed, colourized point cloud, georeferencing	Accuracy, processing time
Handheld LiDAR	4500	10	2000	3	No	No	5	0.25	50,000	Installation and processing time, acquisition speed, easy to use	No colourized point cloud
Mobile LiDAR	5000	2000	20,000	3	0.5	Loss of georeferencing	90	4	300,000	Acquisition speed, accuracy, georeferencing	Cost, installation and processing time
Scanning total station	38,500	600	200	0.5	0.1	Any	15	1	70,000	Accuracy, georeferencing	Acquisition speed
Static long-range LiDAR	47,000	1500	100	2	No	No	15	2	100,000	Accuracy, point density	Cost, acquisition time, georeferencing
Static LiDAR	24,000	300	100	1	No	No	20	2	150,000	Accuracy, point density	Cost, acquisition time, georeferencing
Airborne LiDAR	2.5	-	100,000	5	0.2	Loss of point density	-	-	10/km <sup>2</sup>	Acquisition speed, georeferencing	Accuracy, point density, depends of a third party

# Využití UAV

- Periglaciální geomorfologie
  - Horské oblasti
  - Polární oblasti
- Fluviální geomorfologie
- Svalové procesy







- Voumard, J., et al., 2018. Pros and Cons of Structure for Motion Embarked on a Vehicle to Survey Slopes along Transportation Lines Using 3D Georeferenced and Coloured Point Clouds. *Remote Sensing*, 10, 1732
- Westoby et al., 2012. ‘Structure-from-Motion’ photogrammetry: A low-cost, effective tool for geoscience applications. *Geomorphology*, 179, 300–314.
- Publikace od Marka Ewertowskoho, Jonathana Carrivicka
- Obecně publikace v časopisu *Remote Sensing*